

**ZAPRACOVÁNÍ VÝSLEDKŮ
CHEMICKÝCH ANALÝZ
ZNEČIŠTĚNÝCH VOD ZÍSKANÝCH
V RÁMCI MONITORINGU DO
GEOCHEMICKÝCH MODELŮ.**

Frantisek Eichler

Svermova 268/76

460 10 Liberec 10 – Frantiskov

Czech Republic

Mail: eichlerfr@geow.cz

Web: www.geow.cz

Definice problému:

- Pozorovací síť poskytuje informace o časoprostorových změnách proudění vod.
- Výsledky chemických analýz poskytuje informace o časoprostorových změnách chemismu vod.

Výsledek = velké množství informací

Řešení problému:

- *Matematicko-statistické zpracování dat ...testování hypotéz matematicko-statistickými modely*
- *Geochemické procesy a geochemická interakce ... testování hypotéz geochemickými modely*
- *Základ = výsledky stanovení chemických parametrů vod*

Matematicko-statistické zpracování dat

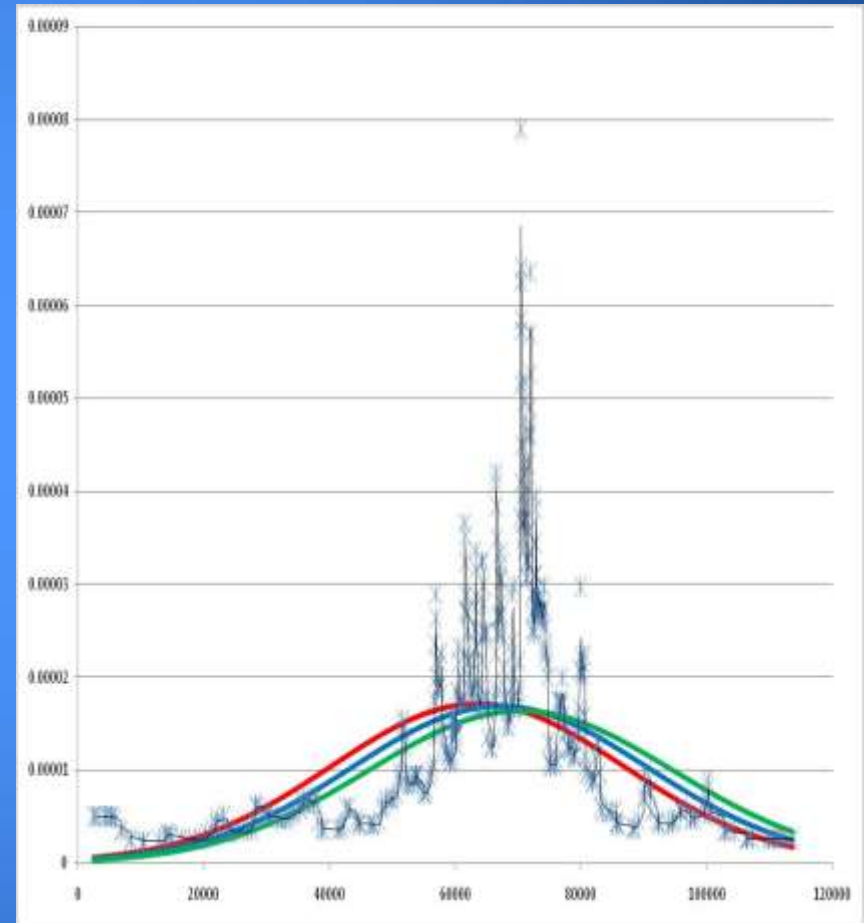
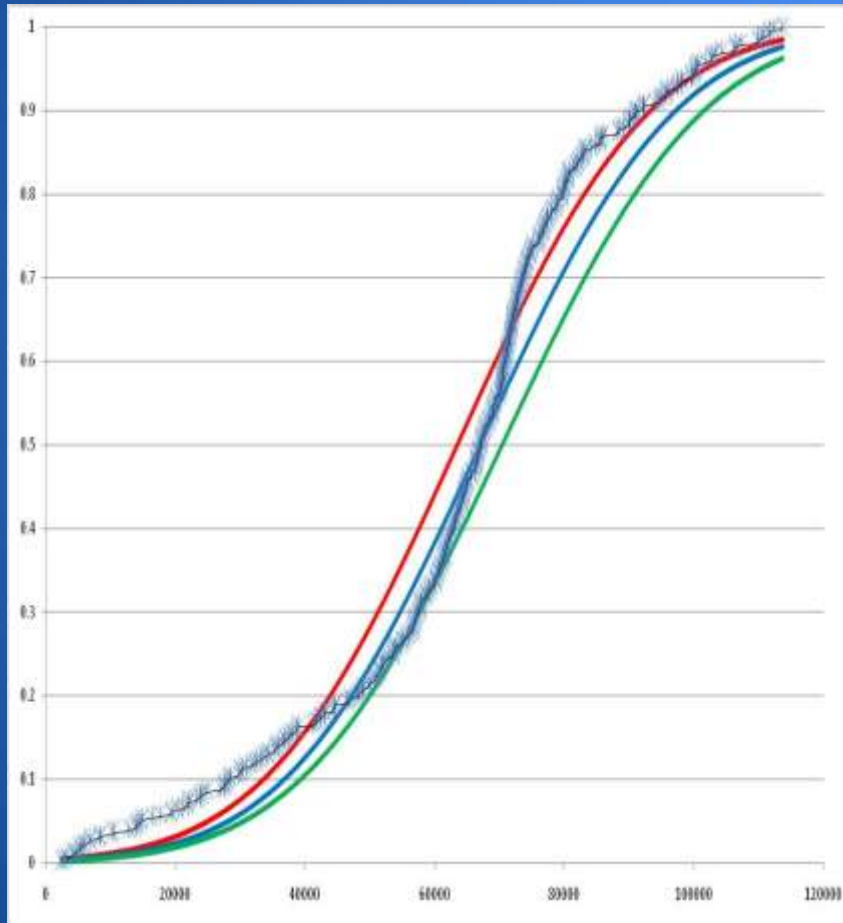
- *Teoretické normální Gaussovo-Laplaceovo rozložení*

- *Střední hodnota , aritmetický či geometrický průměr, medián, modus)*
- *směrodatná odchylka, koeficient šikmosti, špičatosti*

- *Numerické normální Gaussovo-Laplaceovo rozložení*

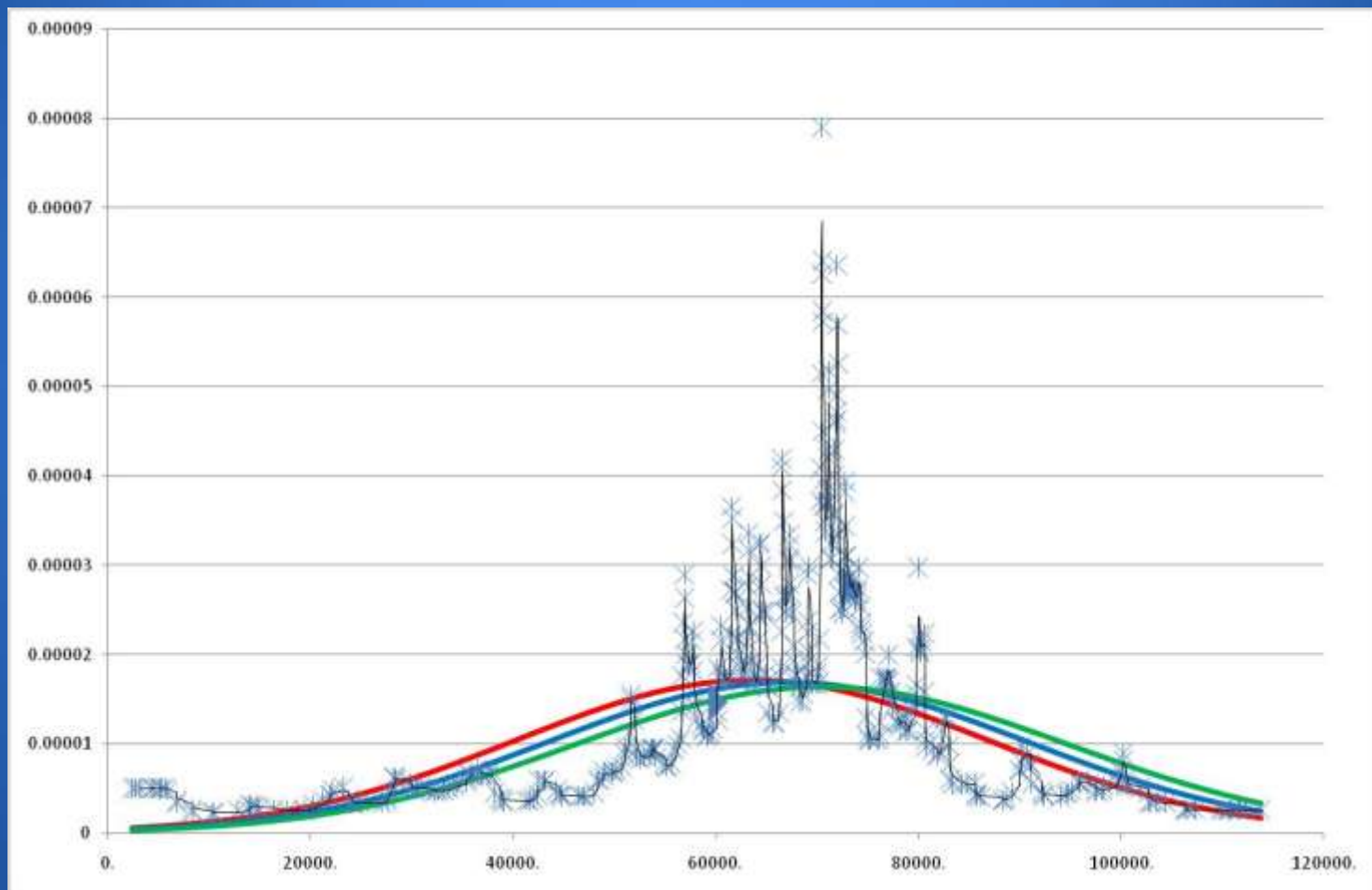
- *Kumulativní četnosti*

Matematicko-statistické zpracování dat

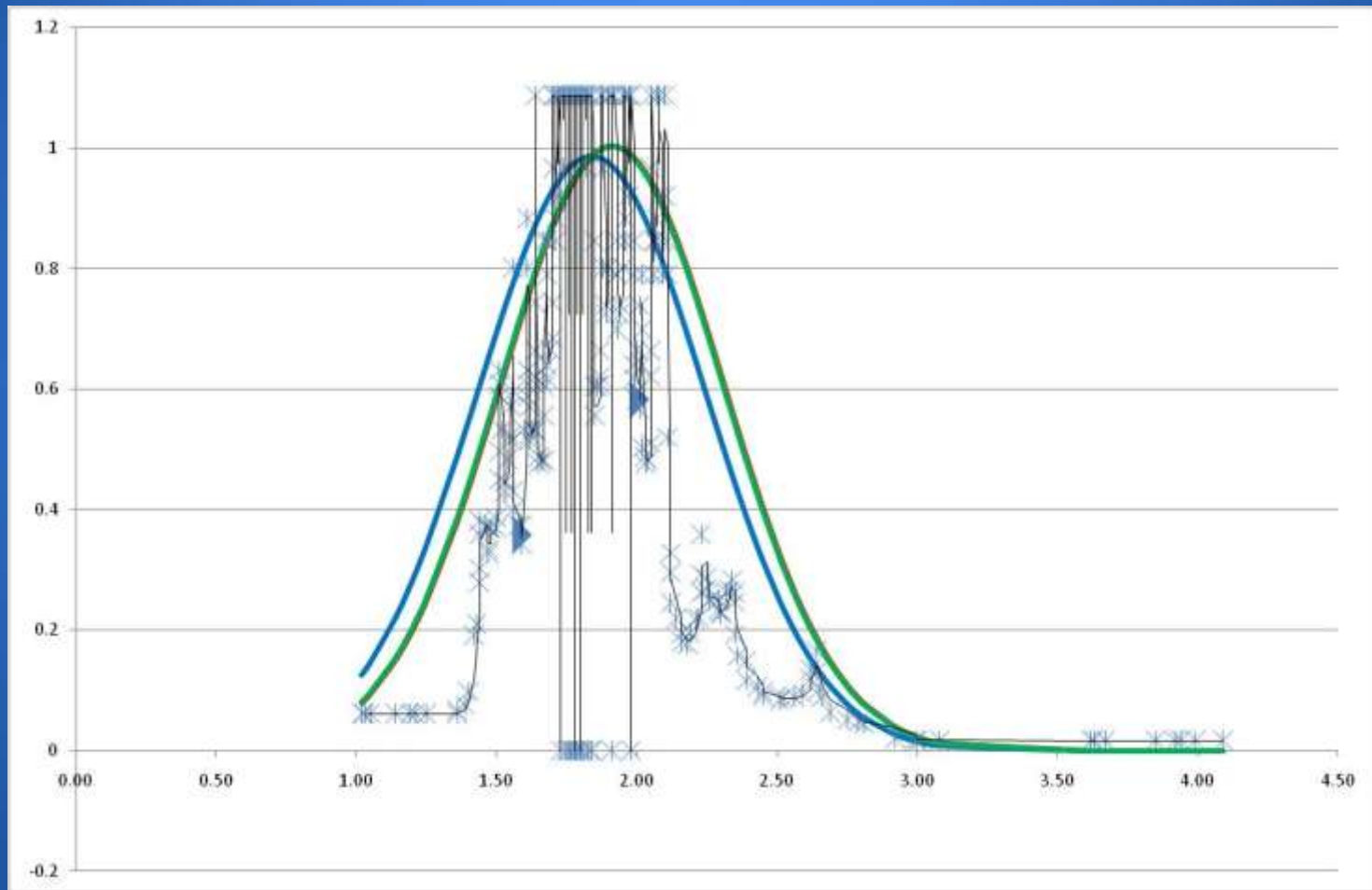


Matematicko-statistické zpracování dat

RAS

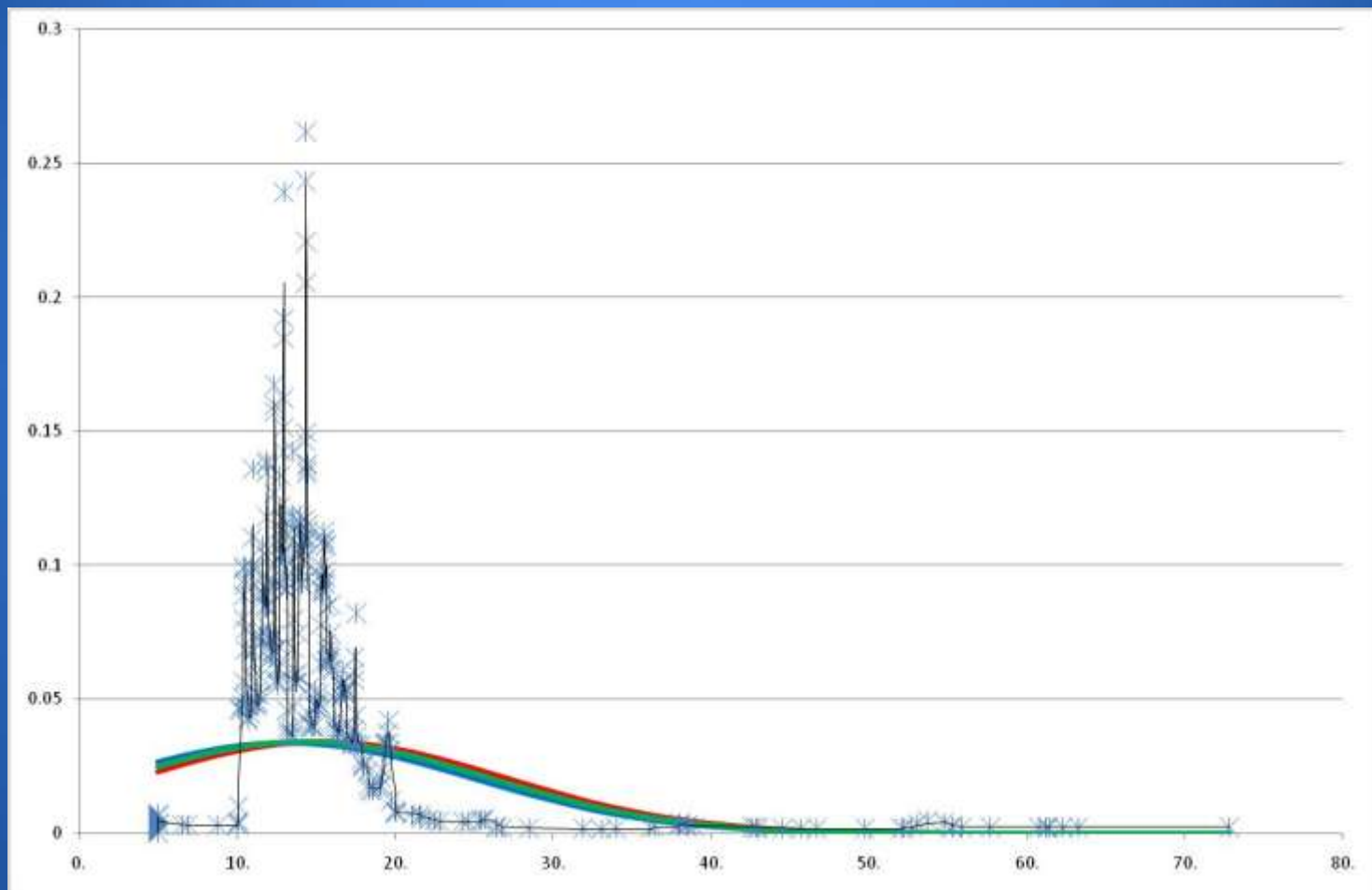


Matematicko-statistické zpracování dat pH



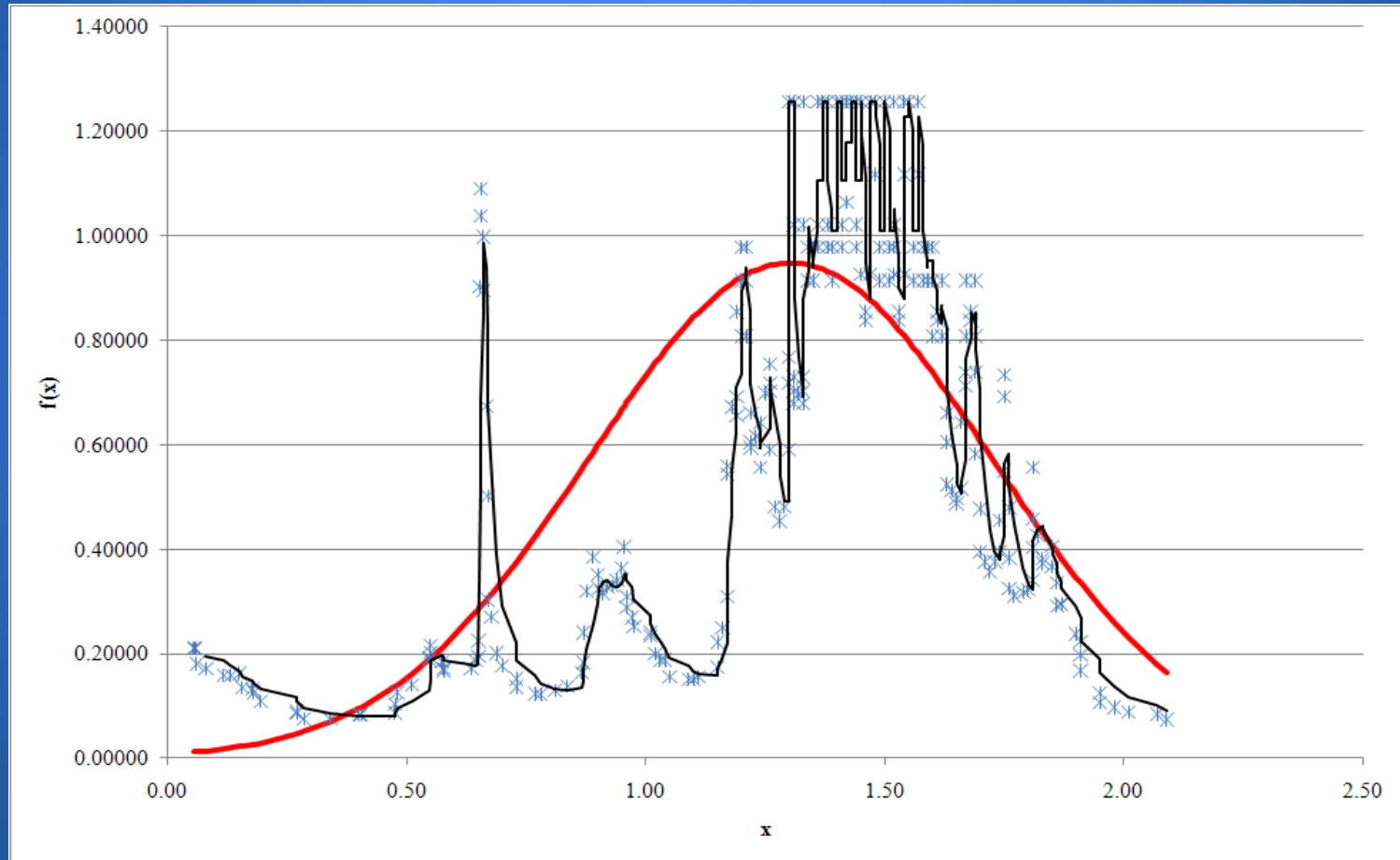
Matematicko-statistické zpracování dat

CI



Matematicko-statistické zpracování dat

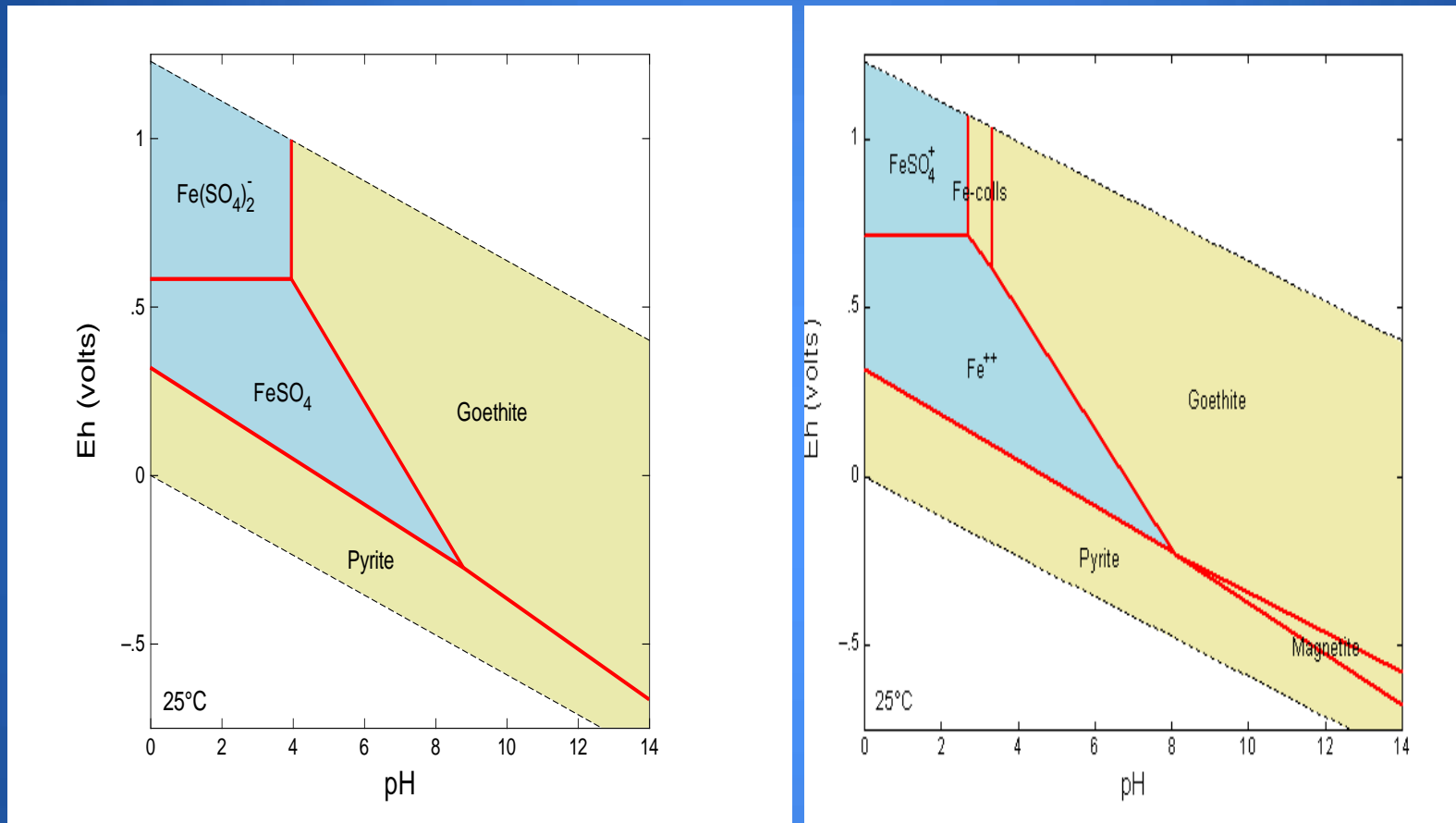
Cr



Testování hypotéz geochemickým modelem

- *Chemické zastoupení složek v kapalně fázi je převážně ovlivněno obecnou směšovací rovnicí*
- Chemické zastoupení složek v kapalně fázi je převážně ovlivněno ustanovením rovnováhy (např. pH – Eh)
- Chemické zastoupení složek v kapalně fázi je převážně ovlivněno ustanovením rovnováhy mezi kapalnou a pevnou fází (saturační indexy)

Aktivní diagram závislosti koncentrace složek s Fe^{+3} na pH a Eh pro systém $\text{Fe}^{+3} - \text{SO}_4^{-2} - \text{H}_2\text{O}$

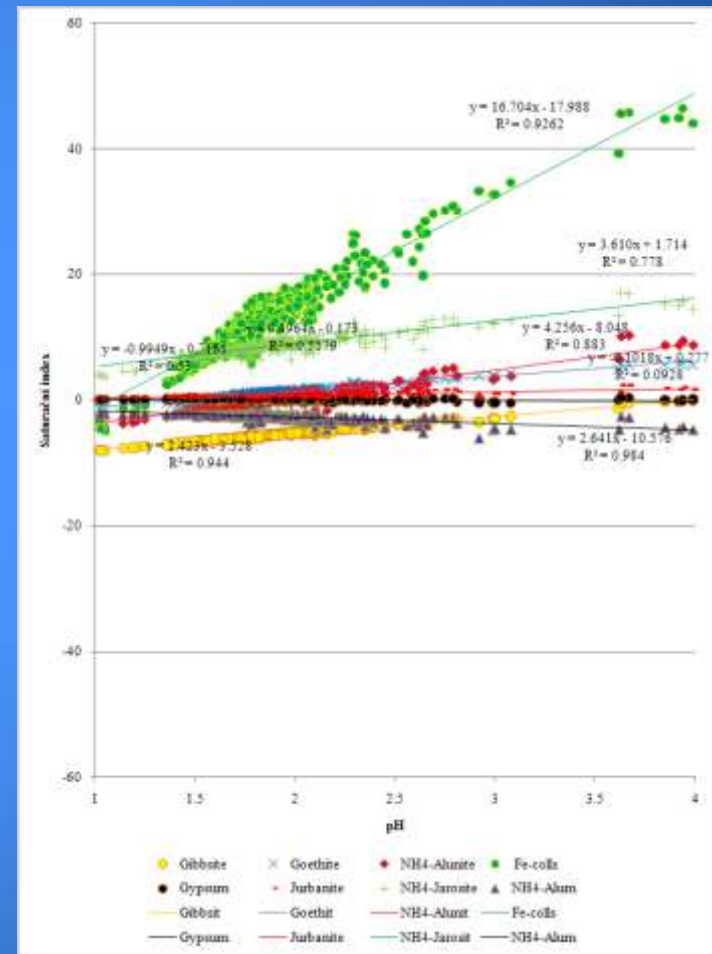
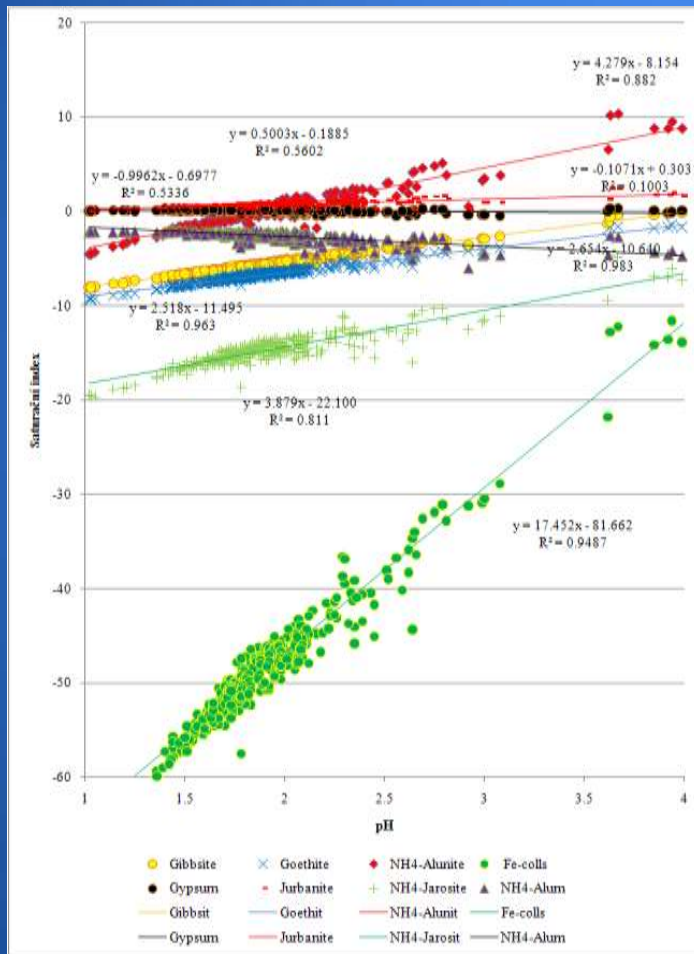


Pro 1. fázi krystalizace s $\text{Fe}(\text{OH})_3$ (obrázek vlevo) a pro 2. fázi krystalizace s goethitem (obrázek vpravo). Vypočítáno programovým systémem *Geochemist's Workbench (GWB – release 7.0.3)* s modifikovanou termodynamickou databází DDtermo.dat (Bethke, 2000).

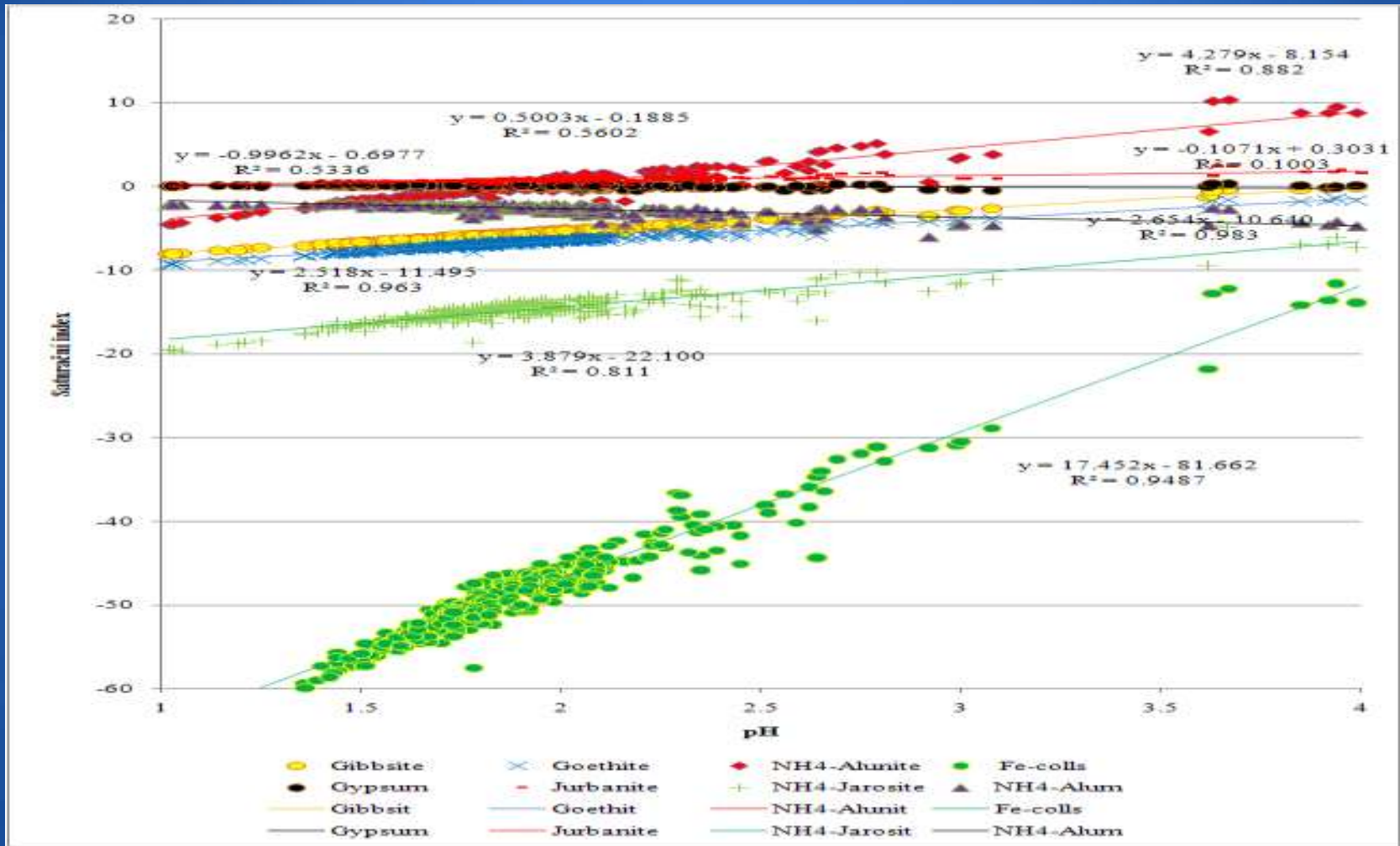
Testování hypotéz geochemickým modelem

Gibbsit	AlOOH	$\text{Al}^{+3} + 2\text{H}_2\text{O} \Leftrightarrow \text{AlOOH} + 3 \text{H}^+$
Goethit	FeOOH	$\text{Fe}^{+2} + 2\text{H}_2\text{O} \Leftrightarrow \text{FeOOH} + 3 \text{H}^+ + \text{e}^-$
NH_4 -Alunit	$\text{NH}_4\text{Al}_6(\text{SO}_4)_4(\text{OH})_{12}$	$\text{NH}_4\text{Al}_6(\text{SO}_4)_4(\text{OH})_{12} + 6\text{H}^+ \Leftrightarrow \text{NH}_4^+ + 3\text{Al}^{+3} + 2\text{SO}_4^{-2} + 6\text{H}_2\text{O}$
Fe-Colls	$\text{Fe}_m(\text{OH})_n(\text{SO}_4)_o \cdot p\text{H}_2\text{O}$	$\text{Fe}_m(\text{OH})_n(\text{SO}_4)_o \cdot p\text{H}_2\text{O} + n \text{H}^+ \Leftrightarrow m \text{Fe}^{+3} + o \text{SO}_4^{-2} + n+p \text{H}_2\text{O}$
Sádrovec	$\text{CaSO}_4 \cdot 2\text{H}_2\text{O}$	$\text{CaSO}_4 \cdot 2\text{H}_2\text{O} \Leftrightarrow \text{Ca}^{+2} + \text{SO}_4^{-2} + 2\text{H}_2\text{O}$
Jurbanit	$\text{Al}(\text{SO}_4)(\text{OH}) \cdot 5\text{H}_2\text{O}$	$\text{Al}(\text{SO}_4)(\text{OH}) \cdot 5\text{H}_2\text{O} + \text{H}^+ \Leftrightarrow \text{Al}^{+3} + \text{SO}_4^{-2} + 6\text{H}_2\text{O}$
NH_4 -Jarosit	$\text{NH}_4\text{Fe}_6(\text{SO}_4)_4(\text{OH})_{12}$	$\text{NH}_4\text{Fe}_6(\text{SO}_4)_4(\text{OH})_{12} + 12\text{H}^+ \Leftrightarrow \text{NH}_4^+ + 6\text{Fe}^{+3} + 4\text{SO}_4^{-2} + 12\text{H}_2\text{O}$
NH_4 -Alum	$\text{NH}_4\text{Al}(\text{SO}_4)_2 \cdot 12\text{H}_2\text{O}$	$\text{NH}_4\text{Al}(\text{SO}_4)_2 \cdot 12\text{H}_2\text{O} \Leftrightarrow \text{NH}_4^+ + \text{Al}^{+3} + 2\text{SO}_4^{-2} + 12\text{H}_2\text{O}$

Testování hypotéz geochemickým modelem



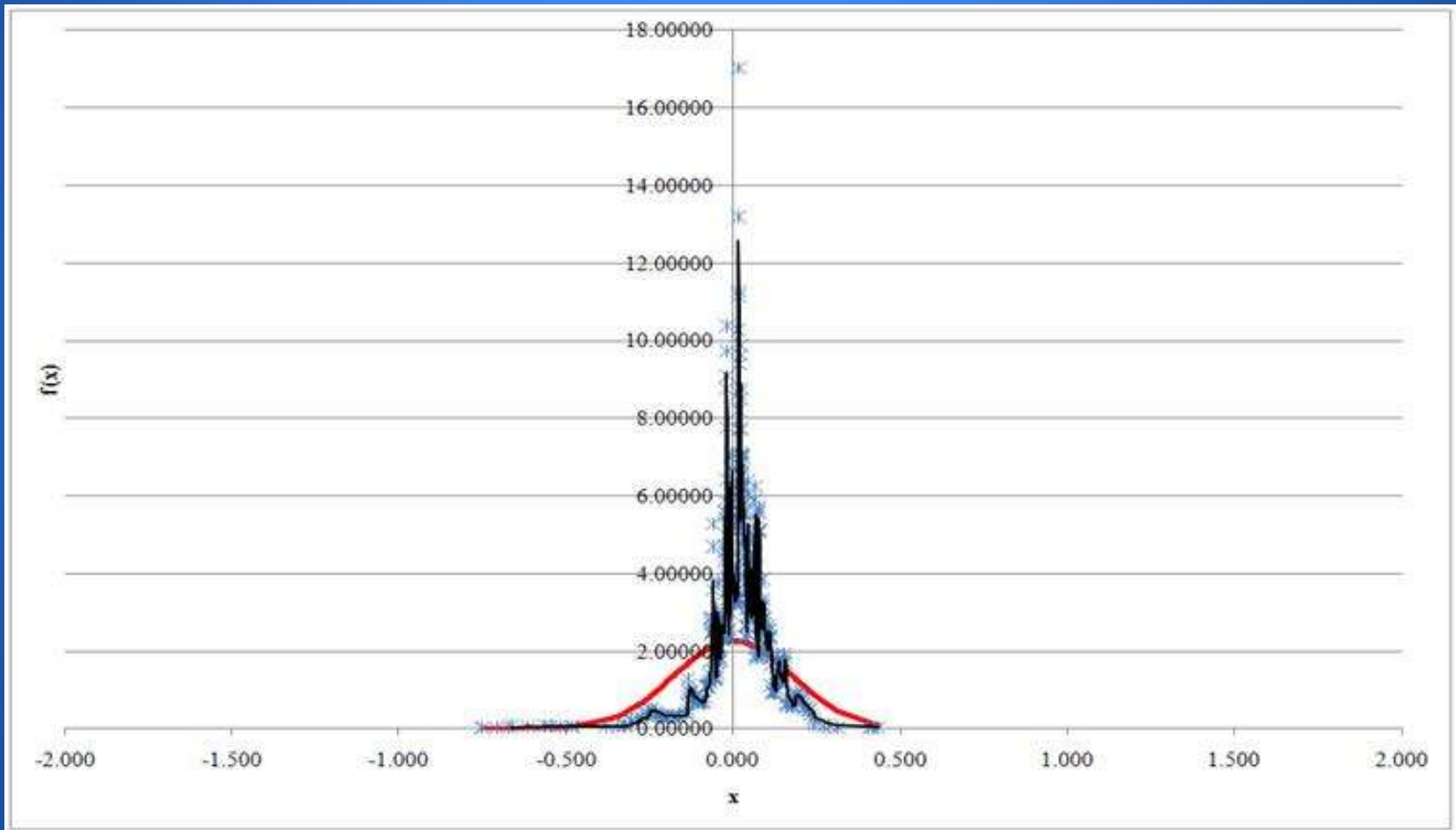
Testování hypotéz geochemickým modelem



Testování hypotéz geochemickým modelem

Gibbsit	AlOOH	$\text{Al}^{+3} + 2\text{H}_2\text{O} \Leftrightarrow \text{AlOOH} + 3 \text{H}^+$
Goethit	FeOOH	$\text{Fe}^{+2} + 2\text{H}_2\text{O} \Leftrightarrow \text{FeOOH} + 3 \text{H}^+ + \text{e}^-$
NH_4 -Alunit	$\text{NH}_4\text{Al}_6(\text{SO}_4)_4(\text{OH})_{12}$	$\text{NH}_4\text{Al}_6(\text{SO}_4)_4(\text{OH})_{12} + 6\text{H}^+ \Leftrightarrow \text{NH}_4^+ + 3\text{Al}^{+3} + 2\text{SO}_4^{-2} + 6\text{H}_2\text{O}$
Fe-Colls	$\text{Fe}_m(\text{OH})_n(\text{SO}_4)_o \cdot p\text{H}_2\text{O}$	$\text{Fe}_m(\text{OH})_n(\text{SO}_4)_o \cdot p\text{H}_2\text{O} + n \text{H}^+ \Leftrightarrow m \text{Fe}^{+3} + o \text{SO}_4^{-2} + n+p \text{H}_2\text{O}$
Sádrovec	$\text{CaSO}_4 \cdot 2\text{H}_2\text{O}$	$\text{CaSO}_4 \cdot 2\text{H}_2\text{O} \Leftrightarrow \text{Ca}^{+2} + \text{SO}_4^{-2} + 2\text{H}_2\text{O}$
Jurbanit	$\text{Al}(\text{SO}_4)(\text{OH}) \cdot 5\text{H}_2\text{O}$	$\text{Al}(\text{SO}_4)(\text{OH}) \cdot 5\text{H}_2\text{O} + \text{H}^+ \Leftrightarrow \text{Al}^{+3} + \text{SO}_4^{-2} + 6\text{H}_2\text{O}$
NH_4 -Jarosit	$\text{NH}_4\text{Fe}_6(\text{SO}_4)_4(\text{OH})_{12}$	$\text{NH}_4\text{Fe}_6(\text{SO}_4)_4(\text{OH})_{12} + 12\text{H}^+ \Leftrightarrow \text{NH}_4^+ + 6\text{Fe}^{+3} + 4\text{SO}_4^{-2} + 12\text{H}_2\text{O}$
NH_4 -Alum	$\text{NH}_4\text{Al}(\text{SO}_4)_2 \cdot 12\text{H}_2\text{O}$	$\text{NH}_4\text{Al}(\text{SO}_4)_2 \cdot 12\text{H}_2\text{O} \Leftrightarrow \text{NH}_4^+ + \text{Al}^{+3} + 2\text{SO}_4^{-2} + 12\text{H}_2\text{O}$

Testování hypotéz geochemickým modelem NH₄-jarosit



Testování hypotéz geochemickým modelem NH₄-jarosit

